

КРАТКИЕ  
СООБЩЕНИЯ

УДК 541.11/.118

ФАЗОВЫЕ ДИАГРАММЫ СИСТЕМ ФУЛЛЕРЕНОЛ-d—LaCl<sub>3</sub>—H<sub>2</sub>O  
И ФУЛЛЕРЕНОЛ-d—GdCl<sub>3</sub>—H<sub>2</sub>O ПРИ 25°C

© 2019 г. В. А. Кескинов<sup>a,b,\*</sup>, К. Н. Семенов<sup>a,c</sup>, Т. С. Гольцов<sup>a</sup>, Н. А. Чарыков<sup>a,d</sup>,  
Н. Е. Подольский<sup>c</sup>, А. В. Куриленко<sup>a</sup>, Ж. К. Шаймарданов<sup>b</sup>,  
Б. К. Шаймарданова<sup>b</sup>, Н. А. Кулунова<sup>b</sup>

<sup>a</sup> Санкт-Петербургский государственный технологический институт (технический университет),  
190013 Санкт-Петербург, Россия

<sup>b</sup> Восточно-Казахстанский государственный технический университет им. Д. Серикбаева,  
070000 Усть-Каменогорск, Казахстан

<sup>c</sup> Санкт-Петербургский государственный университет, 199034 Санкт-Петербург, Россия

<sup>d</sup> Санкт-Петербургский государственный электротехнический университет “ЛЭТИ”,  
197376 Санкт-Петербург, Россия

\* e-mail: keskinov@mail.ru

Поступила в редакцию 18.02.2019 г.

После доработки 28.03.2019 г.

Принята к публикации 09.04.2019 г.

Методом насыщения изучены изотермические фазовые диаграммы трехкомпонентных систем фуллеренол-d—LaCl<sub>3</sub>—H<sub>2</sub>O и фуллеренол-d—GdCl<sub>3</sub>—H<sub>2</sub>O при 25°C. Установлено, что диаграммы растворимости этих систем — простые эвтонические, характеризуются сильным высыпыванием хлоридов при добавлении фуллеренола-d и короткими ветвями кристаллизации кристаллогидратов LaCl<sub>3</sub> · 7H<sub>2</sub>O и GdCl<sub>3</sub> · 6H<sub>2</sub>O, на которых наблюдается эффект всаливания.

**Ключевые слова:** растворимость, тройные системы, изотермическое насыщение в ампулах, простая эвтоника

**DOI:** 10.1134/S0044453719120124

В продолжение серии работ [1–9], посвященных изучению фазовых равновесий растворимости в системах с участием полигидроксилированного фуллерена (фуллеренола-d): C<sub>60</sub>(OH)<sub>22–24</sub> — неорганическая соль (NaCl, CuCl<sub>2</sub>, Pr(NO<sub>3</sub>)<sub>3</sub>, YCl<sub>3</sub>, UO<sub>2</sub>SO<sub>4</sub>, SmCl<sub>3</sub>)—H<sub>2</sub>O. В данной работе исследована растворимость в двух тройных системах: фуллеренол-d—LaCl<sub>3</sub>—H<sub>2</sub>O и фуллеренол-d—GdCl<sub>3</sub>—H<sub>2</sub>O при 25°C.

ЭКСПЕРИМЕНТАЛЬНАЯ ЧАСТЬ

*Реактивы*

Использовали оксиды редкоземельных элементов —Ln<sub>2</sub>O<sub>3</sub>, Gd<sub>2</sub>O<sub>3</sub> (марки “ч.д.а.”, ТУ 48-4-496-88 и ТУ 48-4-523-89); прочие реактивы для синтеза и комплексонометрического определения LaCl<sub>3</sub> и GdCl<sub>3</sub> (HCl, CH<sub>3</sub>COOH, NaOH, C<sub>10</sub>H<sub>14</sub>O<sub>8</sub>N<sub>2</sub>Na<sub>2</sub> · 2H<sub>2</sub>O (ЭДТА), C<sub>31</sub>H<sub>28</sub>N<sub>2</sub>Na<sub>4</sub>O<sub>13</sub>S (ксиленовый оранжевый), и [triet-(C<sub>4</sub>H<sub>9</sub>)<sub>4</sub>N]OH (гидроксид тетрабутиаммония), C<sub>6</sub>H<sub>4</sub>(CH<sub>3</sub>)<sub>2</sub>

(o-ксилол), CH<sub>3</sub>OH все марки “ч.д.а.”; фуллерен C<sub>60</sub> (производства ЗАО ИЛИП, чистоты 99.5 мас. %, произведенный по ТУ 21 6690 3-58381082). Синтез LaCl<sub>3</sub> · 7H<sub>2</sub>O и GdCl<sub>3</sub> · 6H<sub>2</sub>O осуществляли прямой реакцией с HCl с последующей мягкой сушкой продукта. Фуллеренол-d получали с помощью метода прямого межфазного окисления C<sub>60</sub> (растворенного в o-ксилоле) NaOH (растворенного в воде) в присутствии межфазного катализатора [triet-(C<sub>4</sub>H<sub>9</sub>)<sub>4</sub>N]OH (см., например, [1, 8]). Полученный продукт нейтрализовали HCl и отмывали от NaCl с помощью CH<sub>3</sub>OH в аппарате Сокслета. В результате получали продукт C<sub>60</sub>(OH)<sub>22–24</sub> весьма высокой чистоты 99 мас. % с узким распределением по числу привитых гидроксогрупп — C<sub>60</sub>(OH)<sub>22–24</sub> и практически без примеси ненейтрализованного Na. Фуллеренол-d идентифицировали с помощью элементного анализа, ВЭЖХ, ИК-спектроскопии, масс-спектрометрии, спектрофотометрии в УФ и видимой части света.

**Таблица 1.** Изотермические фазовые диаграммы систем фуллеренол-d-LaCl<sub>3</sub>-H<sub>2</sub>O и фуллеренол-d-GdCl<sub>3</sub>-H<sub>2</sub>O при 25°C ( $c_1$  – концентрация C<sub>60</sub>(OH)<sub>22–24</sub>,  $c_2$  – концентрация LaCl<sub>3</sub> или GdCl<sub>3</sub>)

$c_1$ , мас. %	$c_2$ , мас. %	Твердая фаза
фуллеренол-d-LaCl <sub>3</sub> -H <sub>2</sub> O		
0.00	5.02	C <sub>60</sub> (OH) <sub>22–24</sub> · 9H <sub>2</sub> O
0.18	5.00	–
0.37	4.81	–
0.81	4.43	–
1.09	4.1	–
1.12	4.00	–
1.48	2.87	–
2.06	1.30	–
2.59	0.81	–
7.21	0.44	–
18.51	0.042	–
28.19	0.055	–
37.96	0.058	–
46.10	0.060	–
49.26	0.063	C <sub>60</sub> (OH) <sub>22–24</sub> · 9H <sub>2</sub> O + LaCl <sub>3</sub> · 7H <sub>2</sub> O
49.17	0.056	LaCl <sub>3</sub> · 7H <sub>2</sub> O
48.88	0.041	–
48.54	0.019	–
48.20	0.00	–
фуллеренол-d-GdCl <sub>3</sub> -H <sub>2</sub> O		
0.00	5.07	C <sub>60</sub> (OH) <sub>22–24</sub> · 9H <sub>2</sub> O
0.30	3.14	–
0.55	3.02	–
0.77	2.99	–
1.04	2.52	–
1.73	1.41	–
11.67	0.45	–
31.47	0.24	–
34.49	0.23	–
37.98	0.22	–
39.66	0.20	–
45.11	0.19	–
47.11	0.20	C <sub>60</sub> (OH) <sub>22–24</sub> · 9H <sub>2</sub> O + GdCl <sub>3</sub> · 6H <sub>2</sub> O
46.97	0.16	GdCl <sub>3</sub> · 6H <sub>2</sub> O
46.82	0.11	–
46.66	0.05	–
46.52	0.00	–

*Методика изучения растворимости в системах фуллеренол-d-LaCl<sub>3</sub>-H<sub>2</sub>O и фуллеренол-d-GdCl<sub>3</sub>-H<sub>2</sub>O при 25°C*

Насыщенные растворы в тройных системах фуллеренол-d-LaCl<sub>3</sub>-H<sub>2</sub>O и фуллеренол-d-GdCl<sub>3</sub>-H<sub>2</sub>O готовили методом изотермического насыщения в ампулах в условиях шейкер-термостата ( $v = 2$  Гц,  $\Delta T = 25.0 \pm 0.1^\circ\text{C}$ , время насыщения  $t = 8$  ч).

Концентрацию фуллеренола-d определяли спектрофотометрически – по оптической плотности в ближней ультрафиолетовой области на длине волны  $\lambda = 350$  нм (спектрофотометр Shimadzu). Оказалось, что для водных растворов фуллеренола-d закон светопоглощения Бугера–Ламберта–Бера выполняется во всей области концентраций при  $\lambda = 350$  нм (экстинкция  $\epsilon_{350}(\text{C}_{60}(\text{OH})_{22–24}) = 16000 \text{ см}^2/\text{г}$ ). В то же время коэффициенты экстинкции LaCl<sub>3</sub> и GdCl<sub>3</sub> при  $\lambda = 350$  нм более, чем на 4 порядка меньше:  $\epsilon_{350}(\text{LaCl}_3 \text{ и } \text{GdCl}_3) \ll \epsilon_{350}(\text{C}_{60}(\text{OH})_{22–24})$ , и светопоглощением хлоридами редкоземельных элементов можно пренебречь. Для пересчета объемных концентраций  $C_{\text{C}_{60}(\text{OH})_{22–24}}^V$  (г/дм<sup>3</sup>) в весовые концентрации  $C_{\text{C}_{60}(\text{OH})_{22–24}}$  (мас. %) (см. табл. 1) пикнометрическим методом определяли плотность насыщенных тройных растворов фуллеренол-d-LaCl<sub>3</sub>-H<sub>2</sub>O и фуллеренол-d-GdCl<sub>3</sub>-H<sub>2</sub>O при 25°C. Использовали кварцевые термометры с рабочим объемом около 5 см<sup>3</sup>,  $\Delta\rho = 0.0002 \text{ г}/\text{см}^3$ .

Для определения концентраций редкоземельных металлов – La<sup>3+</sup> и Gd<sup>3+</sup> использовали метод комплексонометрического титрования (титрант – Трилон-Б, условия кислотности – ацетатный буферный раствор, индикатор – ксиленовый оранжевый, переход: фиолетовый → желтый).

## ОБСУЖДЕНИЕ РЕЗУЛЬТАТОВ

Данные по растворимости в двух тройных системах фуллеренол-d-LaCl<sub>3</sub>-H<sub>2</sub>O и фуллеренол-d-GdCl<sub>3</sub>-H<sub>2</sub>O при 25°C представлены в табл. 1 и на рис. 1, 2. Установлено, что обе диаграммы растворимости – простые эвтонические [9], содержат по две ветви кристаллизации – C<sub>60</sub>(OH)<sub>22–24</sub> · 9H<sub>2</sub>O и LaCl<sub>3</sub> · 7H<sub>2</sub>O (рис. 1) и C<sub>60</sub>(OH)<sub>22–24</sub> · 9H<sub>2</sub>O и GdCl<sub>3</sub> · 6H<sub>2</sub>O (рис. 2) соответственно. На обеих диаграммах имеется по одной нонвариантной точке – эвтонике [10] ( $E$  на рис. 1, 2), отвечающих насыщению сразу двумя парами кристаллогидратов. Обе диаграммы характеризуются очень сильным высыпыванием хлорида редкой земли при добавлении фуллеренола-d и очень короткими ветвями кристаллизации кристаллогидратов LaCl<sub>3</sub> · 7H<sub>2</sub>O и GdCl<sub>3</sub> · 6H<sub>2</sub>O соответственно, на которых наблюдается эффект всаливания.

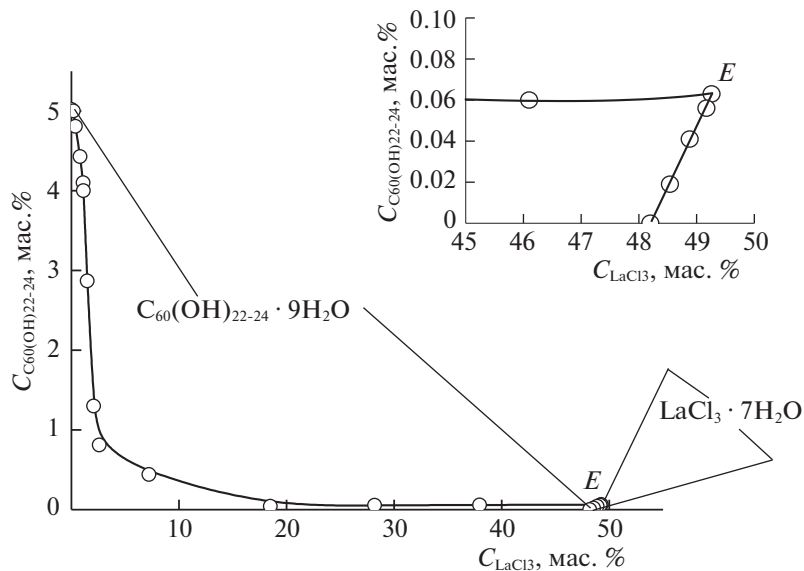


Рис. 1. Растворимость в тройной системе фуллеренол-д-LaCl<sub>3</sub>-H<sub>2</sub>O при 25°C (в верхнем правом углу – фрагмент диаграммы, прилегающий к эвтонике – E).

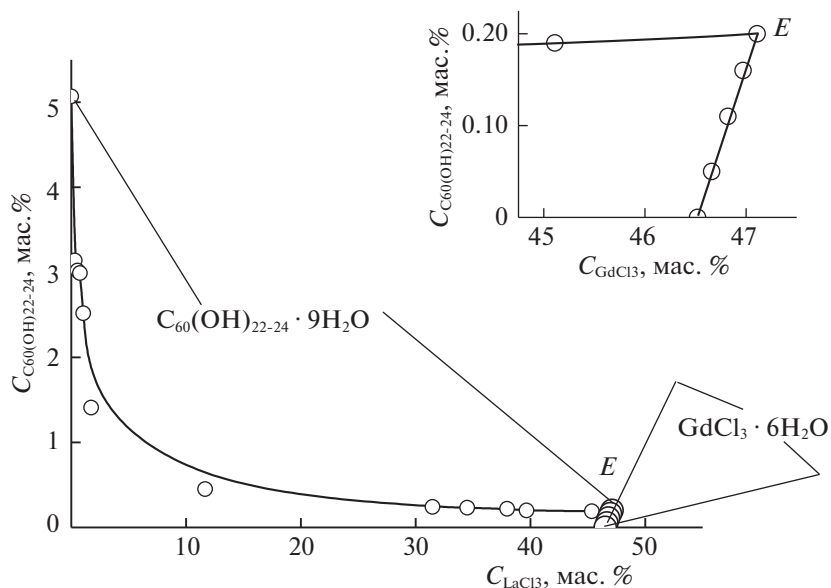


Рис. 2. Растворимость в тройной системе фуллеренол-д-GdCl<sub>3</sub>-H<sub>2</sub>O при 25°C (в верхнем правом углу – фрагмент диаграммы, прилегающий к эвтонике – E).

Работа выполнена при поддержке РФФИ (проекты № 18-08-00143 А, № 19-015-00469 А, № 19-016-00003 А).

#### СПИСОК ЛИТЕРАТУРЫ

1. Semenov K.N., Keskinov V.A., Charykov N.A. et al. // Industrial and Eng. Chem. Res. 2013. V. 52. P. 16095–16100.
2. Semenov K.N., Charykov N.A., Postnov V.N. et al. // Progress in Solid State Chem. 2016. V. 44. № 2. P. 59.
3. Семенов К.Н., Чарыков Н.А // Журн. физ. химии. 2012. Т. 86. № 10. С. 1754.
4. Семенов К.Н., Кантерман И.Г., Чарыков Н.А. и др. // Там же. 2014. Т. 88. № 6. С. 1076.
5. Семенов К.Н., Кантерман И.Г., Чарыков Н.А., Кескинов В.А // Радиохимия. 2014. Т. 56. № 5. С. 421.
6. Pestov I.A., Keskinov V.A., Semenov K.N. et al. // Russ. J. Phys. Chem. A. 2015. V. 89. № 6. P. 998.
7. Юрьев Г.О., Кескинов В.А., Семенов К.Н., Чарыков Н.А. // Журн. физ. химии. 2017. Т. 81. № 5. С. 751.
8. Semenov K.N., Charykov N.A., Keskinov V.A. // J. Chem. Eng. Data. 2011. V. 56. P. 230.
9. Semenov K.N., Keskinov V.A., Charykov N.A. et al. // Industrial and Eng. Chem. Res. 2013. V. 52. P. 16095.
10. Чарыков Н.А., Румянцев А.В., Чарыкова М.В. // Журн. физ. химии. 1998. Т. 72. № 10. С. 1746.